

小糸魚川試験流域の流出過程に関する研究

Study on Runoff Characteristics in the Koitoigawa Experimental Basin

苫小牧工業高等専門学校
苫小牧工業高等専門学校
苫小牧工業高等専門学校
苫小牧工業高等専門学校専攻科

○正会員 八田茂実 (Shigemi HATTA)
正会員 秋野隆英 (Takahide AKINO)
藤井清志 (Kiyoshi FUJII)
学生員 菅原元気 (Genki SUGAWARA)

1 はじめに

第四紀火山流域における流出の特徴は、渇水比流量の大きさ・減水係数の小ささなど、一般的に保水力と称されている特性が極めて大きいことや、洪水比流量が小さいことがある¹⁾。このような特徴は、厚く堆積した火山噴出物が高い透水性と大きな空隙を有しているため、降雨の大部分が地中深く浸透し、豊富な地下水貯留の場となっているためと考えられている²⁾。

本研究では、第四紀火山である樽前山の小流域を対象にこれまでに行った降雨－流出調査資料に基づいて、特に洪水時の流出経路について検討する。

2 対象流域の概要

本研究で対象とした小糸魚川流域は、樽前山の南側山麓に位置し、流域面積 8.97km² である。対象とした流域の概要を図-1に示す。苫小牧市水道部が行った河道周辺の調査によれば、地表面下 2.5m の位置に厚さ 1m 程度の泥炭層が不連続に見られる他は、地表面下 9.5m の位置の不透水層(溶結凝灰岩)まで軽石混じりの砂礫層や砂質土層(飽和透水係数 : 1.0~4.0×10⁻⁴m/s)で覆われている。

本研究では流域の下流端(M7 地点)と本川最上流部の湧水地点(M0 地点)において水位・水温を一時間単位で測定している。流量は得られた水位を水位流量曲線によって流量に換算している。更に洪水時には、M7 地点に自動サンプラーを設置し、河川水の採水も行った。なお、M0 地点では 2002 年 6 月より水位観測を行っているが、河床変動等により水位流量曲線が利用できる期間が限られているため、一定期間を除いて湧水量の目安として M0 地点の水深を用いる。一方、降水量は、雨量計が流域上流部付近と下流部に設置されており、積雪期間を除いて 1 時間単位で雨量資料が整備されている。2000 年、2001 年の観測資料によれば、小糸魚川流域の年降水量は約 1800mm、年流出高は約 2700mm であり³⁾。地形上の流域界を超えて地中水が流入しているものと考えられる。

図-2 は、低水時に M0~M7 地点で測定した流量と調査地点の集水面積の関係を、近隣の錦多峰沢川流域・覚生川流域の結果とともに示したものである。この図では、測定地点間を結ぶ直線の傾きがその区間の流入水の比流量に相当する。小糸魚川流域では、水源部から上流部の比較的大きな支川の流入する M1 区間までの比流量が極端に大きく、M1 地点から最下流までの区間の比流量は、近隣の流域の比流量と大差がない。小糸魚川流域では、M0 から M2 区間に多数の湧水が見られ、特に M0 から M1 区間では湧出量も大きい。このため、降水量に比べて極めて大きな流出になる

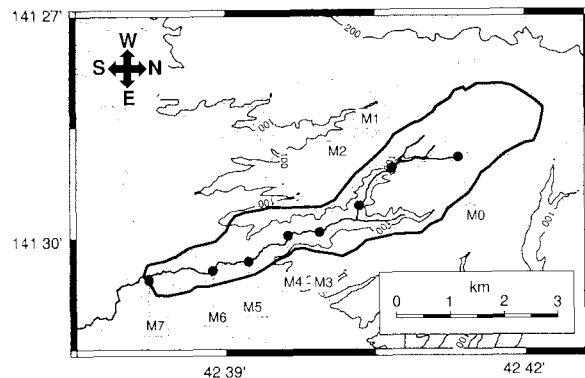


図- 1 小糸魚川流域と流量調査点の位置

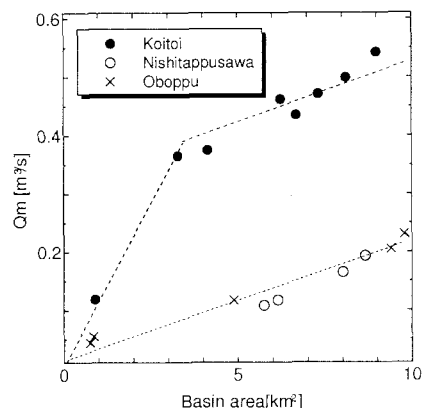


図- 2 低水時の集水面積と本川流量の関係 (小糸魚川流域・錦多峰沢流域・覚生川流域)

原因は、水源部を含めた上流部の湧水の集水域が地形上の流域界と一致していないことにあると考えられる。

3 小糸魚川流域における流出特性

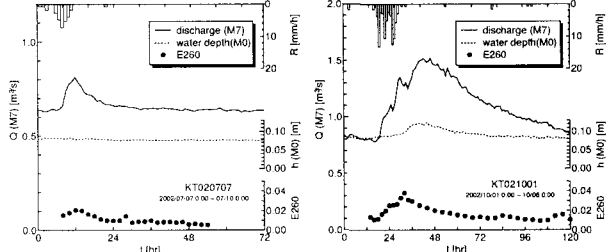
3.1 洪水流出形態の分類

これまでの報告に示したように³⁾、小糸魚川流域の洪水流出は最上流の湧水量がほとんど変化しないにもかかわらず、流域末端では大きな流量変化の見られるもの(I型)と、湧水量の増加傾向と流域末端の流量の増加傾向が良く一致しているもの(II型)の 2 つに分類することができる。この 2 つの出水では下流端におけるハイドログラフの形状も大きく異なり、I 型のハイドログラフは洪水の開始からピーク流量までの立ち上がりが早い。これに対し、II 型の出水ではピーク流量の出現が遅く、時には複数のピークを有しているものもある。

表-1 洪水資料の概要

	No.	総雨量 [mm]	API [mm]	Q_{00} [m ³ /s]	Q_p [m ³ /s]
I型	KT020707	28.1	56	0.628	0.812
	KT020805	48.5	87	0.610	1.183
	KT020928	127.4	56	0.653	1.721
	KT021026	28.8	109	0.731	1.204
II型	KT010911	215.5	232	0.937	3.910
	KT011011	165.5	136	0.718	2.193
	KT020710-1	82.6	74	0.688	1.051*
	KT020710-2	38.9	139	0.900	1.058*
	KT020812	33.6	137	0.745	0.901*
	KT020824	30.8	142	0.732	1.016*
	KT021001	81.6	169	0.797	1.518*
	KT030710	133.2	52	0.523	1.392*
	KT030807	74.0	79	0.631	1.180

注-1) Q_{00}, Q_p はそれぞれ初期流量・ピーク流量を表す
注-2)*は複数のピークを持つ洪水資料であることを示す

図-3 I型,II型の出水時のE₂₆₀の変化

左側: KT020707(I型), 右側: KT021001(II型)

表-1は以上のような観点から分類した2001年から2003年の洪水資料の一覧である。表中のAPI(先行降雨指數)は、洪水開始*i*日前の日降雨量*P_i*を当日からの日数で重み付けして積算したもので、次式によって計算される。

$$API = \sum P_i \cdot K^i \quad (1)$$

上式において、*K*は経験的に0.85から0.98の値となることが知られているが⁴⁾、本研究では初期流量との対応から*K*=0.95を採用して計算した。

APIは降雨開始前の流域の湿潤状態を近似的に表していると考えられるが、この値は対象流域の出水形態に大きな影響を与えており、すなわち、I型の出水ではAPIが100mm程度以下であるのに対して、II型では130mmを超えるような場合に生じている。また、APIが小さい場合でも、II型の出水になる場合がある。このような出水についてAPIを流域の湿潤度の目安として洪水期間中も計算すると、降雨終了前にAPIが130mmを超えていた。

3.2 調査資料から得られる流出特性

(1) I型, II型出水の関連性

図-3はI型、II型の出水時におけるM0,M7地点における流量と、M7地点で採水した試料の波長260nmにおける吸光度(E₂₆₀)を測定した結果を示している。E₂₆₀は、フミン質濃度と相関が高いことが知られており⁵⁾、さらに、地表面近くの比較的浅い層からの流出と関係していることが指摘されている^{6,7)}。図によると、I型の出水では流出量のピークとE₂₆₀のピークは良く一致していることがわかる。一方、II型の出水では、ハイドログラフは2つのピークを有しており、降雨入力直後の第1ピークではE₂₆₀の増加に対応し、第2ピークでは、M0の湧水量の増加と対応していることがわかる。このような傾向は、1つのピークしか持

たないII型の出水にも見られ、II型の出水にはI型の出水成分が含まれているものと考えられる。以上の点を整理すると、I型の出水は比較的浅い層からの流出が主体となっており、II型の流出では、I型の流出に続いて大規模な地中水の流出が現れる基底流出型の流出であると考えることができる。

一方、図-4はハイドログラフの立ち上がりから第1・第2ピークが生じるまでの平均雨量 r_{avg1}, r_{avg2} を求め、それぞれの降雨の重心位置と各ピーク流量までの時間差¹を t_{lag1}, t_{lag2} として両者の関係をプロットしたものである。図中では、同様にして求めたI型の結果も図示している。図によれば、II型に見られる2つのピークのうち、第1ピーク(図-4中の○印)では平均雨量の増加に対して遅れ時間は短くなる傾向が見られるが、その範囲は小さくI型のそれと同等の3~5時間程度である。これに対し、第2ピーク(図-4中の×印)は平均雨量の大きさに大きく依存し、平均雨量が大きくなるほど遅れ時間が短くなる傾向が明瞭に認められる。これらの結果を見る限り、I型の出水に相当する部分は、第2ピークに含まれる流出成分とは異なる流出経路を経ていると推測される。

(2) 流出経路

第2ピークを持つ流出では水源部の流量増加と良く一致する傾向があることから、斜面域からの流出は水源部の流量増加の影響を取り除く必要がある。図-5は低水時・洪水時の本川上の各測点の流量 Q から本川水源部の流量 $Q_{in,0}$ と支川流入量の和 $\Sigma Q_{in,i}$ を差し引いて本川延長に対する流量変化をプロットしたものである。図中の▲印は低水時の流量の分布、●印はKT11011洪水のピーク流量付近で測定した結果を示しており、いずれも河道延長に対して直線的に増加する傾向が見られる。すなわち、II型の出水時には湧水量の大きな変化が見られるものの、河道周辺からの流出は流域内の各部分で同時かつ一様に現れることを示している。

洪水時の調査時では、河道近傍でも地表流が確認できなかった。このため、水源部を除く洪水時の流出成分の増加が比較的浅い層からの流出成分と考え、流量測定時に同時に採水した試料のE₂₆₀を測定し流出成分の分離を行った。流出成分の算定方法は、次式の質量保存則により、浅い層からの流出量 Q_s と地下水流出量 Q_g をそれぞれ求めた。

$$Q = Q_s + Q_g \quad (2)$$

$$Q \cdot C = Q_s \cdot C_s + Q_g \cdot C_g \quad (3)$$

ここで、 Q は流量、 C はE₂₆₀吸光度であり、 C_s, C_g はそれぞれの流出成分のE₂₆₀である。分離に当たっては、 C_s, C_g の値をいくらか設定するかが重要となるが、ここでは C_g は低水時のM0地点におけるE₂₆₀の測定値($=0.0019$)を、 C_s としてはM3地点で採水した滲出水のE₂₆₀の測定値($=0.0822$)を用いた。図-5中の△、○印はこれにより求められた流量 Q_s を示している。最下流部付近で若干のばらつきは認められるが、水源部流量を差し引いた流量と Q_s は洪水時・低水時を問わず良く一致していることがわかる。これは、水源部を除く本川の河道周辺からの流出が、測定さ

¹これを「遅れ時間」と呼ぶことにする。

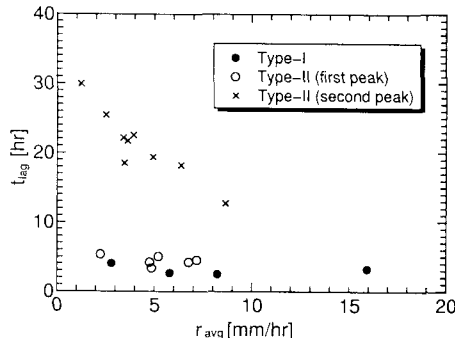


図- 4 平均雨量とピーク流量の遅れ時間の関係

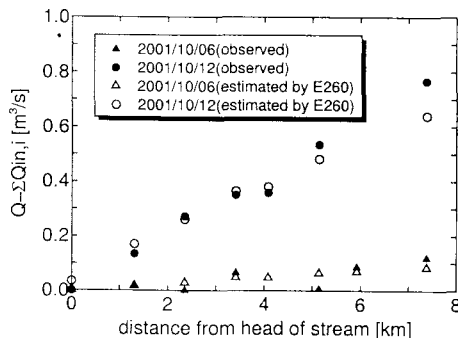


図- 5 本川・支川の水源流量を差し引いた場合の流量観測点における流量の変化

れた滲出水と同等の流出経路をたどっていることを示すとともに、水源部流量が未知である場合でも E_{260} 吸光度を用いてこの流出成分を分離できることを示している。

4 直接流出成分の解析

支川および本川の水源部が主となる上流域の湧水部は、流域が閉じていない可能性もあるため、ここでは水源部の流出量に変化の見られない I 型の出水を対象として、洪水の主なる部分である直接流出成分の流出過程を検討する。なお、I 型の出水では水源部流入量が変化しないことから、本川水源部上流域・支川流域を除いた流域（流域面積 5.76 km^2 ）を対象とする。

4.1 直接流出成分の分離

図-6は、各洪水の減水部分の傾きを示したものである。白抜きの記号は I 型の出水、黒塗りの記号は II 型の出水のものであり、図中には KT021001 洪水時の M0 地点におけるハイドログラフの減水部も描いている。図によれば、いずれの減水曲線も同一の傾きを有した 2-3 本の直線で近似できる。KT021001 洪水では減水部が十分に得られていないが、それ以外の出水では最も小さい減水率は M0 地点も含め $a=0.002(1/\text{hr})$ でほぼ一致している。また、I 型の出水では、その特徴であるピーク直後の大きな減水係数はいずれの出水とも一致し、その後 II 型の出水に含まれている減水曲線に接続するような形となっている。このため、I 型の洪水では減水率の最も大きい直線の終点とハイドログラフの立ち上がりを直線で結び、表面流出量と基底流出量に分離するものとした。

表-2は、このようにして分離された直接流出成分の流出率を示している。いずれの洪水とも降雨規模は異なるが、表

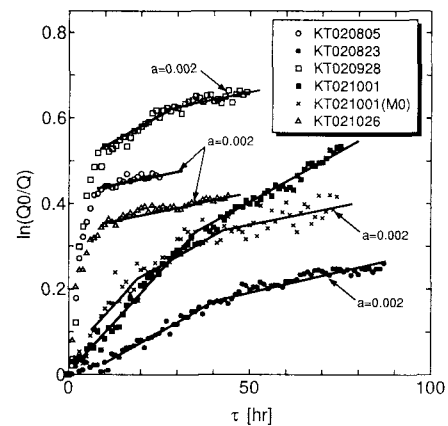


図- 6 各洪水の減衰係数

表- 2 直接流出量の流出率 (I 型)

No.	KT-	020707	020928	020805	021026
	f	0.026	0.025	0.027	0.030

面流の流出率 f は $0.025 \sim 0.030$ の範囲でほぼ一致している。

4.2 流域と河道流出のモデル化

小糸魚川流域は図-1に示したように流域のほぼ中央を流れる主河道に対し、流入する支川が少なく、かつ主河道長に対して斜面長が小さい形状となっている。このため、流域を図-7のように本川長 $Y_L = 7.4 \text{ km}$ を中心とし、斜面長 $L_B = 390 \text{ m}$ 、勾配 $1/10$ の斜面が両側に付随する矩形流域に近似した。また、本川に流入する水源のうち、本川上流部 (Q_{in0}) と上流側の 3 つの支川の流量 ($Q_{in1} \sim Q_{in3}$) を本川合流地点で与える。

河道形状については、河道断面を長方形断面で近似し、縦断勾配および河道幅は観測結果に基づいて得られた近似式から算定することとした。河道内の流れはマニシング則に従うものとし、次式を基礎方程式とする kinematic wave 法を用いて計算する。

$$\frac{\partial Q}{\partial y} + \frac{\partial A}{\partial t} = 2q, \quad A = \alpha Q^m \quad (4)$$

ここで、 Q は河道の流量、 y は河道流下方向にとった距離、 A は通水断面積、 t は時間、 q は片側の斜面流出量、 α, m はパラメータである。河道流量は低水時の河道縦断方向の流量を再現できるように、実測した河道縦断方向の流量分布を次式で近似する。

$$Q(y) = Ay^B + \sum_{i=0}^3 Q_{in,i} U(y_i - y) \quad (5)$$

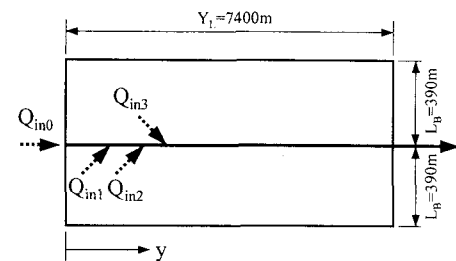


図- 7 流域のモデル化

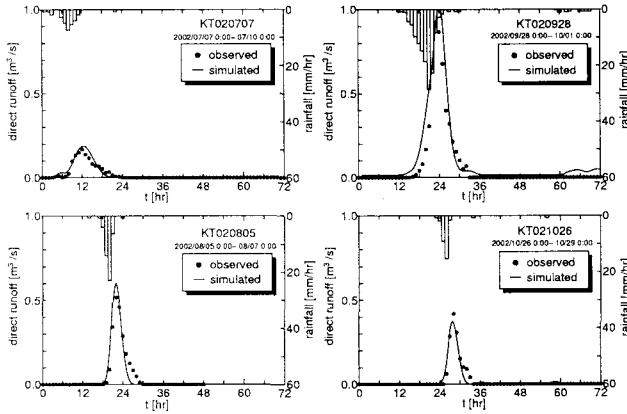


図-8 I型の洪水の再現結果

ここで、 A, B は係数、 Q_{in_i}, y_i は i 番目の水源流量および本川への合流位置、 $U(x)$ はステップ関数である。

この河道流量を洪水期間中与え続け、斜面域からの流出量・河道降雨を加えて下流端 (M7 地点) での流量を算定したのち、予め与えた河道流量を差し引いて直接流出量と Q_d を求める。

4.3 斜面域からの流出のモデル化と計算結果

次に河道に流入する斜面域からの流出を考えるが、対象流域は透水性が極めて高い軽石層や火山灰層で覆われていることから、斜面域からの流出は飽和側方浸透流として計算を行う。また、軽石層・火山灰層の堆積厚も大きいことから、地表面に近い成分が斜面域全体から流出しているとは考えにくい。このため、流出率を流出寄与域の面積率とみなし、河道周辺から一定幅の区間だけを対象として観測降雨を与えて計算を行う。なお、河道幅を除くと図-7 の L_B が 7~9m となるので、ここでは 8m として計算した。

図-8は、以上のような条件で I 型の直接流出量を計算した結果を示している。いずれも透水係数を 0.01 m/s として計算しており、これは砂礫層の透水係数として妥当な結果である。このため、I 型の直接流出成分は、河道近傍の部分流出寄与域への降水によって構成されていること、今回対象とした規模のものでは、流出寄与域を一定とみなして差し支えないことが考えられる。

また、図-9はここで算定された直接流出成分 Q_d と E260 で分離された浅い層からの流出成分 Q_s との比較を行ったものである。I 型の KT020707 では、 Q_d, Q_s は良く一致しているものの、II 型の KT020710 では Q_d は Q_s の前半部のみ一致している。Anderson and Burt⁸⁾ は、側方斜面での観測結果から 2 つのピークを持つハイドログラフについて、第 1 ピークが河道降雨と流出寄与域からの成分、第 2 ピークを側方地中流による成分としている。本研究で対象とした流域では、第 2 ピークは水源部の流入量が主体と考えているが、 Q_d と Q_s がハイドログラフの後半部で一致していない原因は、Anderson and Burt が指摘しているような側方地中流にあると考えられる。

5 おわりに

本研究では、樽前山麓を流れる小糸魚川流域を対象に、観測資料に基づきその流出特性を検討した。この結果、対象流域では河道近傍の降雨から形成される出水 (I 型) と、水

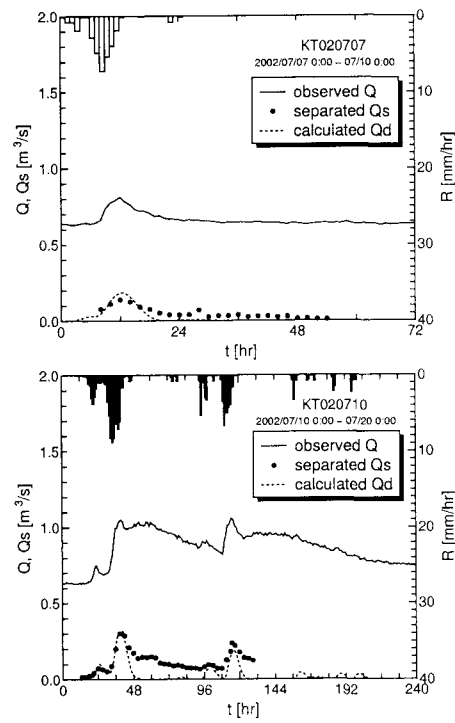


図-9 I型, II型の洪水の再現結果

源部の湧水を主とする規模の大きい地下水水流が加わった出水 (II 型) の 2 つのタイプがあることを示した。このため、本研究で対象とした流域の流出過程を考える場合には、これらの 2 つの流出成分を考慮したモデル化が必要になる。

現在のところ、I 型の出水に関しては河道降雨と流出寄与域的な扱いで洪水主要部分を再現できることを確認している。今後は水源部の湧水や地中流の流出機構を検討するとともに、対象流域周辺の河川の出水特性についても検討する。

謝辞：本研究は財団法人北海道河川防災研究センター平成 15 年度研究助成「苦小牧地域の河川流域の流出特性に関する研究」(研究代表者：八田茂実) の援助を受けました。また、本研究の遂行にあたり、北海道開発局室蘭開発建設部、苦小牧市水道部からは貴重な水文資料を提供していただきました。ここに記して関係各位に感謝の意を表します。

参考文献

- 1) 高橋裕, 河川水文学, 共立出版, 1987.
- 2) 山本莊毅, 富士山の水文学的研究, 地理学評論, 43(5), pp.267–284, 1970.
- 3) 八田茂実・秋野隆英・藤井清志・照井文哉, 苦小牧周辺河川の流出特性, 土木学会北海道支部論文報告集, 58, pp.314–317, 2002.
- 4) Chow, V. T., *Handbook of Applied Hydrology*, McGraw-Hill, 1964.
- 5) 丹保憲仁・亀井翼, 自然系, 都市系の流出指標としての紫外外部吸光度と TOC, 水文・水資源学会 1988 年研究発表要旨集, pp.180–181, 1988.
- 6) 嵐城浩, 山地流域の降雨流出現象に関する研究, 北海道大学学位論文, 1991.
- 7) 早川博・内島邦秀, 富里ダム流出試験地の流出特性について, 土木学会北海道支部論文報告集, 49, pp.324–329, 1993.
- 8) Anderson, M.G. and Burt, T. B., Toward more detailed field monitoring of variable source areas, *Water Resour. Res.*, 14, pp.1123–1131, 1978.